

# WENO/РУНГЕ-КУТТА МЕТОД ВЫСОКОЙ ТОЧНОСТИ ДЛЯ МОДЕЛИРОВАНИЯ УПРУГИХ ВОЛН

М.Н. ДМИТРИЕВ, Е.И. РОМЕНСКИЙ

**Аннотация.** В работе представлено применение численного метода WENO/Рунге-Кутта высокого порядка точности для решения уравнений линейной теории упругости, записанной в виде гиперболической системы законов сохранения. Рассматривались методы до 5-го порядка точности по пространству и до 4-го порядка точности по времени. Сравнение результатов расчетов тестовых задач с результатами, полученными широко применяемым в сейсмике методом Вирье второго порядка по пространству и по времени, показывает несомненное преимущество алгоритма WENO/Рунге-Кутта. Рассмотрено также применение метода в случае ограничения расчетной области посредством введения специальным образом построенных поглощающих слоев PML (Perfectly Matched Layer).

**Ключевые слова:** линейная теория упругости, упругие волны, методы высокого порядка точности.

## 1. ВВЕДЕНИЕ

Методы численного моделирования в геофизике в последние годы приобретают все более важную роль. Необходимость улучшения методик зондирования нефтяных резервуаров и акустического каротажа скважин требует повышения качества моделирования и разработки новых высокоточных численных методов.

Для моделирования сейсмических волн наиболее широко распространена традиционная формулировка уравнений линейной теории упругости в виде дифференциальных уравнений второго порядка для перемещений среды, и многие численные методы основаны именно на таком подходе. В последние годы многие исследователи используют другую формулировку уравнений в виде гиперболической системы законов сохранения первого порядка, для которых разрабатываются эффективные численные конечно-разностные алгоритмы высокого порядка точности как по пространству, так и по времени. В задачах сейсмике и сейсмоакустики используются, в частности, разностная схема Вирье [2], схема на повернутых сетках [3], которые могут со вторым порядком точности моделировать волновые процессы в сложноустроенных (слоистых, трещиноватых) упругих средах. Отметим, что основные трудности при численном исследовании упругих волн в геофизических приложениях заключаются в необходимости расчета волн высокой частоты (до нескольких сотен килогерц) и на больших временах (характерное время — время пробега нескольких сотен длин волн). Для такого типа задач традиционные конечно-разностные методы дают нежелательные эффекты, такие как сильное размазывание волновых фронтов или осцилляции за волной. В последние годы для гиперболических законов сохранения разрабатываются алгоритмы, позволяющие получать более высокий порядок точности как по

---

M.N. DMITRIEV, E.I. ROMENSKI, WENO/RK METHOD FOR MODELLING ELASTIC WAVES.

© ДМИТРИЕВ М.Н., РОМЕНСКИЙ Е.И. 2010.

Работа поддержана РФФИ (проекты 07-05-00538, 08-05-00265, 09-05-00221), Президиумом РАН (проект № 2).

Поступила 20 октября 2009 г.

пространству, так и по времени. Можно упомянуть такие методы, как дискретный метод Галеркина, ADER метод, WENO методы [4].

В данной работе представлено применение WENO/Рунге-Кутта алгоритма для решения гиперболической системы законов сохранения линейной теории упругости. Рассматривались методы до 5-го порядка точности по пространству и до 4-го порядка точности по времени. Сравнение результатов расчетов тестовых задач с результатами, полученными широко используемым в сейсмике методом Вирье второго порядка по пространству и по времени, показывает несомненное преимущество WENO/Рунге-Кутта методов. Отметим, что разработанные методы могут быть прямо использованы для расчета упругих волн в средах с переменными (в том числе с разрывными) характеристиками среды (плотность, скорости звука).

В работе также рассмотрено применение метода в случае ограничения расчетной области посредством введения специальным образом построенных поглощающих слоев PML (Perfectly Matched Layer), предложенных в работах [7, 8]. Разработанные алгоритмы иллюстрируются серией расчетов тестовых задач, одномерных и двумерных.

## 2. УРАВНЕНИЯ ЛИНЕЙНОЙ ТЕОРИИ УПРУГОСТИ

Мы будем рассматривать уравнения линейной теории упругости как гиперболическую систему уравнений первого порядка, которая формулируется в терминах скоростей движения среды  $u_i$  и деформаций  $\varepsilon_{ij}$ .

$$\begin{aligned} \frac{\partial \rho u_i}{\partial t} - \frac{\partial \sigma_{ij}}{\partial x_j} &= 0, \quad i, j = 1, 2, 3, \\ \frac{\partial \varepsilon_{ij}}{\partial t} - \frac{1}{2} \left( \frac{\partial u_i}{\partial x_j} + \frac{\partial u_j}{\partial x_i} \right) &= 0, \quad i, j = 1, 2, 3. \end{aligned} \quad (1)$$

Первое уравнение здесь выражает закон сохранения импульса, второе уравнение описывает эволюцию тензора малых деформаций при движении среды. Мы будем рассматривать случай изотропной среды, для которой напряжения  $\sigma_{ij}$  связаны с деформациями и законом Гука

$$\sigma_{ij} = \lambda(\varepsilon_{11} + \varepsilon_{22} + \varepsilon_{33})\delta_{ij} + 2\mu\varepsilon_{ij}. \quad (2)$$

Здесь  $\rho$  — плотность среды,  $\lambda, \mu$  — постоянные Ламе.

Известно, что система (1) является гиперболической, что позволяет применять для ее решения современные численные методы, разработанные для решения гиперболических систем законов сохранения.

В данной статье проведен сравнительный анализ численных методов для решения одномерных и двумерных задач, поэтому ниже приведены соответствующие варианты уравнений.

Двумерная система уравнений может быть получена из (1) в предположении, что движение вдоль одной оси координат, например  $x_3$ , отсутствует. Это означает, что  $u_3 = 0$ , а значит, и  $\sigma_{13} = 0, \sigma_{23} = 0, \sigma_{33} = 0$ . При этом система (1) сводится к нижеследующей векторной форме

$$\frac{\partial \mathbf{U}}{\partial t} + \frac{\partial \mathbf{F}(\mathbf{U})}{\partial x} + \frac{\partial \mathbf{G}(\mathbf{U})}{\partial y} = 0. \quad (3)$$

Здесь консервативные переменные  $\mathbf{U}$  и конвективные потоки  $\mathbf{F}, \mathbf{G}$  имеют вид

$$\mathbf{U} = \begin{pmatrix} \rho u_1 \\ \rho u_2 \\ \varepsilon_{11} \\ \varepsilon_{22} \\ \varepsilon_{12} \end{pmatrix}, \quad \mathbf{F}(\mathbf{U}) = \begin{pmatrix} -\sigma_{11} \\ -\sigma_{12} \\ -u_1 \\ 0 \\ -u_2/2 \end{pmatrix}, \quad \mathbf{G}(\mathbf{U}) = \begin{pmatrix} -\sigma_{12} \\ -\sigma_{22} \\ 0 \\ -u_2 \\ -u_1/2 \end{pmatrix}. \quad (4)$$

Далее для конструирования численных методов будут использоваться одномерные варианты системы (3)

$$\frac{\partial \mathbf{U}}{\partial t} + \frac{\partial \mathbf{F}(\mathbf{U})}{\partial x} = 0, \quad \frac{\partial \mathbf{U}}{\partial t} + \frac{\partial \mathbf{G}(\mathbf{U})}{\partial y} = 0, \quad (5)$$

а для решения задачи Римана (задачи о распаде разрыва) — их эквивалентные формы, записанные в характеристических переменных.

Для одномерной системы, описывающей распространение волн вдоль оси  $x$ , такая система имеет вид

$$\begin{aligned} \frac{\partial}{\partial t} \left( u_1 \mp \frac{c_p}{\lambda + 2\mu} \sigma_{11} \right) \pm c_p \frac{\partial}{\partial x} \left( u_1 \mp \frac{c_p}{\lambda + 2\mu} \sigma_{11} \right) &= 0, \\ \frac{\partial}{\partial t} \left( u_2 \mp \frac{c_s}{\mu} \sigma_{12} \right) \pm c_s \frac{\partial}{\partial x} \left( u_2 \mp \frac{c_s}{\mu} \sigma_{12} \right) &= 0. \end{aligned} \quad (6)$$

Здесь  $c_p = \sqrt{(\lambda + 2\mu)/\rho}$  и  $c_s = \sqrt{\mu/\rho}$  соответственно продольная и поперечная скорости звука. Система для волн вдоль оси  $z$  имеет следующий вид:

$$\begin{aligned} \frac{\partial}{\partial t} \left( u_2 \mp \frac{c_p}{\lambda + 2\mu} \sigma_{22} \right) \pm c_p \frac{\partial}{\partial y} \left( u_2 \mp \frac{c_p}{\lambda + 2\mu} \sigma_{22} \right) &= 0, \\ \frac{\partial}{\partial t} \left( u_1 \mp \frac{c_s}{\mu} \sigma_{12} \right) \pm c_s \frac{\partial}{\partial y} \left( u_1 \mp \frac{c_s}{\mu} \sigma_{12} \right) &= 0. \end{aligned} \quad (7)$$

Системы (6), (7) могут быть применены для решения задачи Римана, которая в случае одномерного движения вдоль оси  $x$  имеет нижеследующую формулировку. Пусть при  $t = 0$  на оси  $x$  заданы начальные данные  $u_1^L, u_2^L, \varepsilon_{11}^L, \varepsilon_{22}^L, \varepsilon_{12}^L$  при  $x < 0$  и  $u_1^R, u_2^R, \varepsilon_{11}^R, \varepsilon_{22}^R, \varepsilon_{12}^R$  при  $x > 0$ . Требуется найти решение при  $t > 0$ .

Решение задачи Римана является кусочно-постоянным в плоскости  $(x, t)$ , разделенной характеристиками  $dx/dt = -c_p$ ,  $dx/dt = -c_s$ ,  $dx/dt = 0$ ,  $dx/dt = c_s$ ,  $dx/dt = c_p$ . Нас интересует решение  $u_1^*, u_2^*, \varepsilon_{11}^*, \varepsilon_{22}^*, \varepsilon_{12}^*$  в области, ограниченной характеристиками  $dx/dt = -c_s$  и  $dx/dt = c_s$ , и выражающие его формулы имеют вид:

$$\begin{aligned} u_1^* &= \frac{1}{2}(u_1^R + u_1^L) + \frac{1}{2} \frac{c_p}{\lambda + 2\mu} (\sigma_{11}^R - \sigma_{11}^L), \\ u_2^* &= \frac{1}{2}(u_2^R + u_2^L) + \frac{1}{2} \frac{c_s}{\mu} (\sigma_{12}^R - \sigma_{12}^L), \\ \sigma_{11}^* &= \frac{1}{2}(\sigma_{11}^R + \sigma_{11}^L) + \frac{1}{2} + \frac{1}{2} \frac{\lambda + 2\mu}{c_p} (u_1^R - u_1^L), \\ \sigma_{12}^* &= \frac{1}{2}(\sigma_{12}^R + \sigma_{12}^L) + \frac{1}{2} \frac{\mu}{c_s} (u_2^R - u_2^L). \end{aligned} \quad (8)$$

Отметим, что задача Римана для случая, когда среда слева и справа от разрыва имеет разные материальные характеристики ( $\rho^L, c_p^L, c_s^L$  слева и  $\rho^R, c_p^R, c_s^R$  справа), также может

быть решена методом характеристик, и ее решение в области, ограниченной характеристиками  $dx/dt = -c_s^L$  и  $dx/dt = c_s^R$ , имеет следующий вид:

$$\begin{aligned}
u_1^* &= \frac{\rho^R c_p^R u_1^R + \rho^L c_p^L u_1^L + \sigma_{11}^R - \sigma_{11}^L}{\rho^L c_p^L + \rho^R c_p^R}, \\
u_2^* &= \frac{\rho^R c_s^R u_2^R + \rho^L c_s^L u_2^L + \sigma_{11}^R - \sigma_{11}^L}{\rho^L c_s^L + \rho^R c_s^R}, \\
\sigma_{11}^* &= \frac{\rho^L c_p^L \rho^R c_p^R}{\rho^L c_p^L + \rho^R c_p^R} \left[ \frac{\sigma_{11}^R}{\rho^R c_p^R} + \frac{\sigma_{11}^L}{\rho^L c_p^L} + u_1^R - u_1^L \right], \\
\sigma_{12}^* &= \frac{\rho^L c_s^L \rho^R c_s^R}{\rho^L c_s^L + \rho^R c_s^R} \left[ \frac{\sigma_{12}^R}{\rho^R c_s^R} + \frac{\sigma_{12}^L}{\rho^L c_s^L} + u_2^R - u_2^L \right].
\end{aligned} \tag{9}$$

Заметим, что для решения задачи Римана в последнем случае необходимо использовать условия на контактном разрыве

$$[u_1] = 0, \quad [\sigma_{11}] = 0, \quad [u_2] = 0, \quad [\sigma_{12}] = 0,$$

где  $[f] = f^R - f^L$  — скачок функции  $f$  при переходе через разрыв.

### 3. ОГРАНИЧЕНИЕ РАСЧЕТНОЙ ОБЛАСТИ

Во многих задачах сейсмологии и сейсмоакустики волны могут распространяться в неограниченной области. Для того чтобы ограничить расчетную область, применяются различные методы. Ниже будет описана адаптация к применяемому методу высокого порядка точности подхода, использующего окаймление расчетной области поглощающим слоем. Такой слой должен обеспечивать поглощение без отражения волн, приходящих в него из расчетной области. В данной работе мы остановимся на так называемых идеально-согласованных поглощающих слоях PML (от английского Perfectly Matched Layer). Это специальным образом сконструированный слой, расположенный вдоль границы расчетной области и обеспечивающий затухание решения по мере его распространения. Впервые описание таких слоев было изложено в работе [7] для расчета электромагнитных волновых полей, а применительно к уравнениям упругости — в работе [8].

Сформулируем уравнения, моделирующие распространение волн внутри PML и обеспечивающие затухание решения. Решение системы (3) представляется в виде суммы

$$\mathbf{U} = \mathbf{U}^x + \mathbf{U}^y,$$

слагаемые которой являются решениями уравнений

$$\begin{aligned}
\frac{\partial \mathbf{U}^x}{\partial t} + d(x) \mathbf{U}^x + \frac{\partial \mathbf{F}(\mathbf{U})}{\partial x} &= 0, \\
\frac{\partial \mathbf{U}^y}{\partial t} + d(y) \mathbf{U}^y + \frac{\partial \mathbf{G}(\mathbf{U})}{\partial y} &= 0.
\end{aligned} \tag{10}$$

Здесь  $d(s) > 0$  — демпфирующая функция, которая, следуя работе [3], выбиралась следующим образом:

$$d(s) = \frac{2c_p}{L} \log(1/R) \left( \frac{s}{L} \right)^4,$$

где  $s \in [0, L]$ ,  $L$  — ширина поглощающего слоя,  $R$  — константа характеризующая коэффициент отражения. В численных расчетах выбиралось  $R = 10^{-5}$ .

## 4. ЧИСЛЕННЫЕ МЕТОДЫ

В данном параграфе приведено краткое описание конечно-объемного метода WENO в применении к описанным в предыдущем параграфе двумерным уравнениям линейной теории упругости (3).

Предположим, что плоскость  $x, y$  разбита на счетные ячейки

$$\Pi_{ij} = [x_{i-1/2}, x_{i+1/2}] \times [y_{j-1/2}, y_{j+1/2}]$$

с номерами  $i, j$  и длинами сторон  $\Delta x = x_{i+1/2} - x_{i-1/2}$ ,  $\Delta y = y_{j+1/2} - y_{j-1/2}$ . Пространственная аппроксимация уравнения (3) имеет следующий вид

$$\frac{d\mathbf{U}_{i,j}}{dt} = -\frac{\mathbf{F}_{i+1/2,j} - \mathbf{F}_{i-1/2,j}}{\Delta x} + \frac{\mathbf{G}_{i,j+1/2} - \mathbf{G}_{i,j-1/2}}{\Delta y}. \quad (11)$$

Здесь  $\mathbf{U}_{i,j}$  — значение решения, отнесенное к ячейке  $\Pi_{ij}$ , а  $\mathbf{F}_{i-1/2,j}, \mathbf{F}_{i+1/2,j}, \mathbf{G}_{i,j-1/2}, \mathbf{G}_{i,j+1/2}$  — значения потоков через грани ячейки. Вычисление потоков на гранях счетных ячеек может быть выполнено различными способами. Мы опишем здесь конечно-объемный WENO алгоритм [6], который использует усредненные значения решения по счетным ячейкам:

$$\mathbf{U}_{i,j}(t) = \frac{1}{\Delta x \Delta y} \int_{x_{i-1/2}}^{x_{i+1/2}} \int_{y_{j-1/2}}^{y_{j+1/2}} \mathbf{U}(t, x, y) dx dy.$$

Выражения для потоковых членов в (11) получаются при интегрировании уравнения по объему ячейки  $\Pi_{ij} = [x_{i-1/2}, x_{i+1/2}] \times [y_{j-1/2}, y_{j+1/2}]$ :

$$\begin{aligned} \mathbf{F}_{i+1/2,j} &= \frac{1}{\Delta y} \int_{y_{j-1/2}}^{y_{j+1/2}} \mathbf{F}(\mathbf{U}(t, x_{i+1/2}, y)) dy, \\ \mathbf{G}_{i,j+1/2} &= \frac{1}{\Delta x} \int_{x_{i-1/2}}^{x_{i+1/2}} \mathbf{G}(\mathbf{U}(t, x, y_{j+1/2})) dx. \end{aligned} \quad (12)$$

Опишем общую процедуру нахождения  $\mathbf{F}_{i+1/2,j}$ . Для этого интегралы в формуле (12) аппроксимируются  $N$ -точечной квадратурной формулой

$$\mathbf{F}_{i+1/2,j} \approx \frac{1}{\Delta y} \sum_{\alpha=1}^N \mathbf{F}(\mathbf{U}(t, x_{i+1/2}, y_{\alpha})) K_{\alpha}, \quad (13)$$

где  $K_{\alpha}$  — веса квадратурной формулы. Далее для нахождения величин  $\mathbf{U}_{i+1/2,\alpha} = \mathbf{U}(t, x_{i+1/2}, y_{\alpha})$  применяется WENO реконструкция из средних значений по ячейкам слева и справа на гранях между ячейками  $\mathbf{U}_{i+1/2,\alpha}^L = \mathbf{U}(t, x_{i+1/2} - 0, y_{\alpha})$ ,  $\mathbf{U}_{i+1/2,\alpha}^R = \mathbf{U}(t, x_{i+1/2} + 0, y_{\alpha})$ . После этого приближенное значение  $\mathbf{F}_{i+1/2,j}$  получается из решения задачи о распаде разрыва в узлах  $y_{\alpha}$ :

$$\mathbf{F}_{i+1/2,j} \approx \frac{1}{\Delta y} \sum_{\alpha=1}^N \tilde{\mathbf{F}}(\mathbf{U}_{i+1/2,\alpha}^L, \mathbf{U}_{i+1/2,\alpha}^R) K_{\alpha}. \quad (14)$$

В данной работе для аппроксимации интеграла использовалась двухточечная квадратура 4-го порядка:

$$\mathbf{F}_{i+1/2,j} \approx \frac{1}{2} \mathbf{F} \left( \mathbf{U}(x_{i+1/2}, y_j - \frac{\Delta y}{2\sqrt{3}}, t) \right) + \frac{1}{2} \mathbf{F} \left( \mathbf{U}(x_{i+1/2}, y_j + \frac{\Delta y}{2\sqrt{3}}, t) \right). \quad (15)$$

Для вычисления  $\mathbf{U}(x_{i+1/2}, y_j \pm \frac{\Delta y}{2\sqrt{3}}, t)$  применялась двумерная WENO реконструкция 5-го порядка. Для этого сначала применяем одномерную реконструкцию  $\mathbf{U}(x_{i+1/2}, y_k, t)$  из

средних значений  $\mathbf{U}(x_i, y_k, t)$  слева и справа от грани  $x = x_{i+1/2}$  для  $k = j - 3 \dots, j + 3$ . В качестве шаблона используется взвешенная комбинация трех шаблонов:

$$\begin{aligned}\mathbf{U}^{(0)} &= \frac{1}{6}(-\mathbf{U}_{i+2} + 5\mathbf{U}_{i+1} + 2\mathbf{U}_i), \\ \mathbf{U}^{(1)} &= \frac{1}{6}(-\mathbf{U}_{i-1} + 5\mathbf{U}_i + 2\mathbf{U}_{i+1}), \\ \mathbf{U}^{(2)} &= \frac{1}{6}(2\mathbf{U}_{i-2} - 7\mathbf{U}_{i-1} + 11\mathbf{U}_i), \\ \mathbf{U}_{i+1/2}^L &= \mathbf{U}_{i+1/2}(x_{i+1/2} - 0) = \sum_{l=0}^2 \omega_l \mathbf{U}^{(l)}.\end{aligned}\tag{16}$$

Веса  $\omega_l$  имеют следующий вид:

$$\begin{aligned}\omega_l &= \frac{\alpha_l}{\sum_{l=0}^2 \alpha_l}, \quad \alpha_0 = \frac{d_0}{(\varepsilon + \beta_0)^2}, \quad \alpha_1 = \frac{d_1}{(\varepsilon + \beta_1)^2}, \quad \alpha_2 = \frac{d_2}{(\varepsilon + \beta_2)^2}, \\ d_0 &= \frac{3}{10}, \quad d_1 = \frac{3}{5}, \quad d_2 = \frac{1}{10}.\end{aligned}\tag{17}$$

Индикаторы гладкости шаблонов:

$$\begin{aligned}\beta_0 &= \frac{13}{12}(\mathbf{U}_i - 2\mathbf{U}_{i+1} + \mathbf{U}_{i+2})^2 + \frac{1}{4}(3\mathbf{U}_i - 4\mathbf{U}_{i+1} + \mathbf{U}_{i+2})^2, \\ \beta_1 &= \frac{13}{12}(\mathbf{U}_{i-1} - 2\mathbf{U}_i + \mathbf{U}_{i+1})^2 + (\mathbf{U}_{i-1} - \mathbf{U}_{i+1})^2, \\ \beta_2 &= \frac{13}{12}(\mathbf{U}_{i-2} - 2\mathbf{U}_{i-1} + \mathbf{U}_i)^2 + \frac{1}{4}(\mathbf{U}_{i-2} - 4\mathbf{U}_{i-1} + \mathbf{U}_i)^2.\end{aligned}\tag{18}$$

Формулы для вычисления  $\mathbf{U}_{i-1/2}^R$  имеют вид

$$\begin{aligned}\mathbf{U}^{(0)} &= \frac{1}{6}(2\mathbf{U}_{i+2} - 7\mathbf{U}_{i+1} + 11\mathbf{U}_i), \\ \mathbf{U}^{(1)} &= \frac{1}{6}(-\mathbf{U}_{i+1} + 5\mathbf{U}_i + 2\mathbf{U}_{i-1}), \\ \mathbf{U}^{(2)} &= \frac{1}{6}(-\mathbf{U}_{i-2} + 5\mathbf{U}_{i-1} + 2\mathbf{U}_i), \\ \mathbf{U}_{i-1/2}^R &= \mathbf{U}_{i-1/2}(x_{i-1/2} + 0) = \sum_{l=0}^2 \omega_l \mathbf{U}^{(l)}.\end{aligned}\tag{19}$$

Веса  $d_0$ ,  $d_1$  и  $d_2$  получаются циклической перестановкой:

$$d_0 = \frac{1}{10}, \quad d_1 = \frac{3}{5}, \quad d_2 = \frac{3}{10}.\tag{20}$$

После этого проводим одномерную WENO реконструкцию по переменной  $y$ , используя найденные выше значения. Формулы для реконструкции в точке  $y_j - \frac{\Delta y}{2\sqrt{3}}$  имеют вид

$$\begin{aligned} \mathbf{U}^{(0)} &= \mathbf{U}_j + (3\mathbf{U}_j - 4\mathbf{U}_{j+1} + \mathbf{U}_{j+2})\frac{\sqrt{3}}{12}, \\ \mathbf{U}^{(1)} &= \mathbf{U}_j - (-\mathbf{U}_{j-1} + \mathbf{U}_{j+1})\frac{\sqrt{3}}{12}, \\ \mathbf{U}^{(2)} &= \mathbf{U}_j - (3\mathbf{U}_j - 4\mathbf{U}_{j-1} + \mathbf{U}_{j-2})\frac{\sqrt{3}}{12}, \\ \mathbf{U}\left(y_j - \frac{\Delta y}{2\sqrt{3}}\right) &= \sum_{l=0}^2 \omega_l \mathbf{U}^{(l)}. \end{aligned} \tag{21}$$

Веса  $d_0$ ,  $d_1$  и  $d_2$  имеют вид

$$d_0 = \frac{210 - \sqrt{3}}{1080}, \quad d_1 = \frac{11}{18}, \quad d_2 = \frac{210 + \sqrt{3}}{1080}. \tag{22}$$

Формулы для вычисления  $\mathbf{U}\left(y_j + \frac{\Delta y}{2\sqrt{3}}\right)$  имеют вид

$$\begin{aligned} \mathbf{U}^{(0)} &= \mathbf{U}_j - (3\mathbf{U}_j - 4\mathbf{U}_{j+1} + \mathbf{U}_{j+2})\frac{\sqrt{3}}{12}, \\ \mathbf{U}^{(1)} &= \mathbf{U}_j - (\mathbf{U}_{j-1} - \mathbf{U}_{j+1})\frac{\sqrt{3}}{12}, \\ \mathbf{U}^{(2)} &= \mathbf{U}_j - (-3\mathbf{U}_j + 4\mathbf{U}_{j-1} - \mathbf{U}_{j-2})\frac{\sqrt{3}}{12}, \\ \mathbf{U}\left(y_j + \frac{\Delta y}{2\sqrt{3}}\right) &= \sum_{l=0}^2 \omega_l \mathbf{U}^{(l)}. \end{aligned} \tag{23}$$

Веса  $d_0$ ,  $d_1$  и  $d_2$  получаются циклической перестановкой:

$$d_0 = \frac{210 + \sqrt{3}}{1080}, \quad d_1 = \frac{11}{18}, \quad d_2 = \frac{210 - \sqrt{3}}{1080}. \tag{24}$$

Шаг интегрирования по времени  $\Delta t$  выбирается из условия Куранта-Фридрихса-Леви:

$$\Delta t \leq CFL \min_{ij} \left( \frac{\Delta x}{S_{ij}^x}, \frac{\Delta y}{S_{ij}^y} \right)$$

$S_{ij}^x$  и  $S_{ij}^y$  — максимальные скорости распространения волн в направлении осей  $x$  и  $y$  соответственно.  $CFL$  — число Куранта-Фридрихса-Леви, которое выбирается как  $CFL < 1$  в одномерном случае и  $CFL < 1/2$  в двумерном случае.

## 5. ЧИСЛЕННЫЕ ПРИМЕРЫ

В данном параграфе будет проведен сравнительный анализ результатов расчетов, полученных с использованием метода WENO/Рунге-Кутта и других классических методов, в частности широко используемого в задачах сейсмологии метода Вирье. Применение численных методов в изучении распространения упругих волн сталкивается с такими трудностями, как необходимость точного вычисления волн высоких частот (10–100 кГц) на

очень больших временах пробега (до нескольких сотен длин волн). Мы продемонстрируем преимущество WENO/Рунге-Кутта методов при решении такого рода задач.

**5.1. Одномерные упругие волны.** Продемонстрируем теперь преимущество метода WENO/Рунге-Кутта по сравнению с некоторыми другими конечно-разностными методами на серии одномерных задач о распространении упругих волн. Рассмотрим вначале волну, распространяющуюся вправо вдоль оси  $x$ . Волна задается в начальных данных следующим образом:

$$u_1(0, x) = e^{-10(x-2)^2}, \quad \varepsilon_{11}(0, x) = -e^{-10(x-2)^2}.$$

Точное решение на момент времени  $t$ , соответствующее этим начальным данным, выражается формулой

$$u_1(t, x) = e^{-10(x-c_p t)^2}, \quad \varepsilon_{11}(t, x) = -e^{-10(x-c_p t)^2}.$$

На рис. 1 слева приведено сравнение результата расчета методом С.К. Годунова распада разрыва (первый порядок точности)[1] с аналитическим решением на момент времени, соответствующий прохождению волной расстояния около 50 длин волн. Первоначально на длину волны приходилось 40 точек, число Куранта в расчетах было взято 0.7. Полученный численно профиль скорости дает сильное падение амплитуды и размазывание профиля. Можно сделать вывод, что такого рода методы дают неудовлетворительные результаты при решении подобных задач.

На рис. 1 справа приведено сравнение с точным решением численных результатов, полученных схемой Вирье и схемой WENO/Рунге-Кутта пятого порядка по пространству и 3-го и 4-го порядков по времени. На длину волны приходится 20 точек, число Куранта равно 0.7. Видно, что схема Вирье создает существенные осцилляции за волной, а сам фронт волны оказывается несколько запаздывающим по сравнению с точным решением. Методы WENO-5/Рунге-Кутта-3,4 дают гораздо лучшие результаты, но падение амплитуды достигает 20%. Можно тем не менее увидеть, что повышение точности интегрирования по времени уменьшает падение амплитуды волны.

На рис. 2 показаны результаты расчета той же задачи с более мелким пространственным шагом (число точек на длину волны — 40), из которых видно, что метод Вирье и в этом случае дает осциллирующее решение, в то время как WENO-5/Рунге-Кутта-4 дает очень хорошее соответствие точному решению.

Метод WENO/Рунге-Кутта легко может быть обобщен на случай переменных коэффициентов уравнений (различные скорости звука и плотности в среде). Оказывается, что для этого не нужно выделять контактную границу, и сквозной счет обеспечивает нужный порядок точности. На рис. 3 слева приведены результаты расчета задачи о распространении волны в двухслойной среде. Внутри расчетной области  $x \in [0, 100]$  при  $x < 50$  параметры среды  $\rho = 1$ ,  $c = 1$ , а при  $x > 50$  параметры среды  $\rho = 1$ ,  $c = 2$ . Форма источника прежняя, в начальных данных было взято 20 точек на длину волны. Видно, что метод Вирье дает неудовлетворительные результаты по сравнению с методом WENO-5/Рунге-Кутта-3.

Только при существенном увеличении числа точек на длину волны метод Вирье дает результат, приближающийся по точности к методу WENO/Рунге-Кутта. На рис. 3 справа приведен тот же расчет, но для числа точек на длину волны 20 для WENO-5/Рунге-Кутта-3 схемы и 400 точек на длину волны для схемы Вирье.

**5.2. Двумерные упругие волны.** Приведем теперь пример расчета распространения упругих волн, инициированных точечным источником, и их взаимодействия с поглощающим слоем. Расчетная область представляет собой прямоугольник  $(x, y) \in [0, 8] \times [0, 8]$ . В начальный момент времени в центре области задается источник в виде импульса Риккера,

который входит как правая часть в уравнения для  $\varepsilon_{11}$ ,  $\varepsilon_{22}$ :

$$\begin{aligned}\frac{\partial \varepsilon_{11}}{\partial t} - \frac{\partial u_1}{\partial x} &= f(t)\delta(\vec{x} - \vec{x}_s), \\ \frac{\partial \varepsilon_{22}}{\partial t} - \frac{\partial u_2}{\partial y} &= f(t)\delta(\vec{x} - \vec{x}_s),\end{aligned}\tag{25}$$

где  $f(t) = 1 - 2\pi^2\nu^2(t - t_0)^2 e^{-\pi^2\nu^2(t-t_0)^2}$ ,  $\nu = 30$ ,  $t_0 = \frac{3}{\nu}$ .

Поглощающие слои заданы внутри расчетной области в виде  $(x, y) \in [0, 8] \times [0, 1.5]$ ,  $(x, y) \in [6.5, 8] \times [0, 8]$ .

Для расчета во всей области, включая PML, использовался описанный выше метод WENO-5/Рунге-Кутта-4. Уравнения, моделирующие затухание внутри PML, брались в виде (10).

На рис. 4 приведено поле напряжения  $\sigma_{11}$ , полученное в результате расчета для различных моментов времени  $t = 1.2, 1.5, 1.7, 1.9$ . Видно, что волна уходит за пределы расчетной области, при этом не возникает видимых отражений от границы раздела основной области и PML.

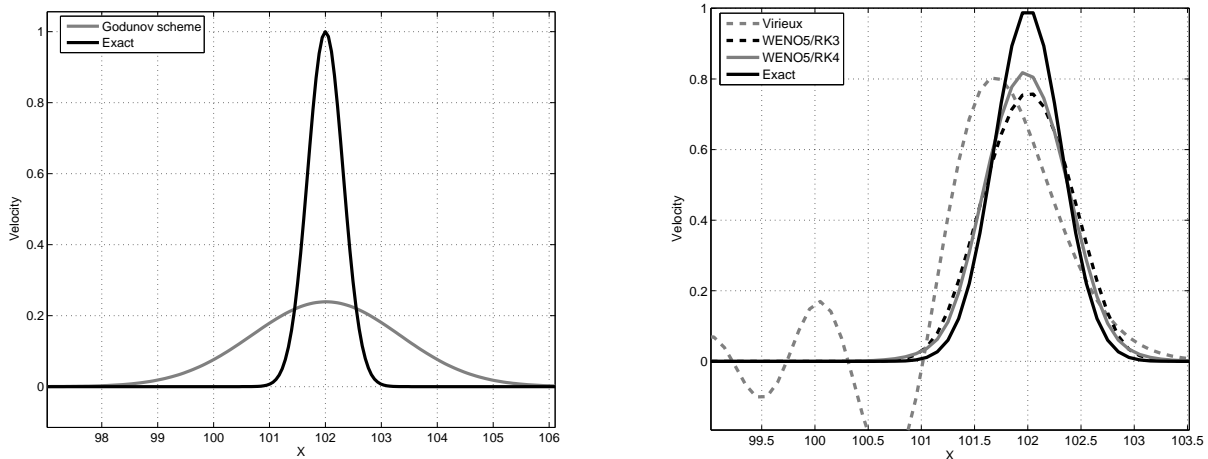


РИС. 1. Искажение импульса. На левом графике – распределение скорости, сравнение численного решения по схеме Годунова с аналитическим решением. Справа – сравнение численного решения по схеме Вирье и WENO/Рунге-Кутта методов с аналитическим решением

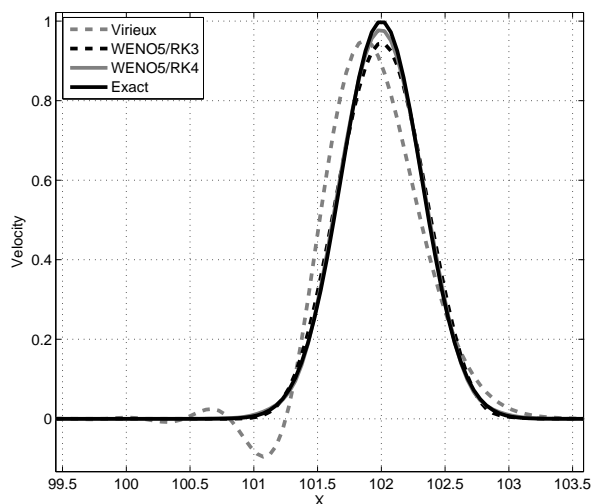


Рис. 2. Искажение импульса. Сравнение численного решения по схеме Ви-рье и WENO/Рунге-Кутта методов с аналитическим решением

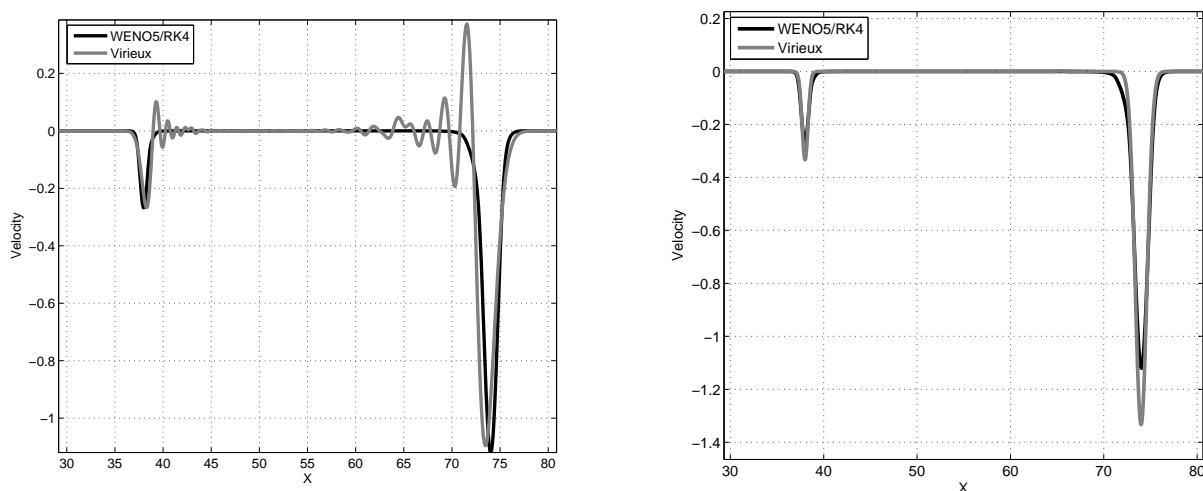
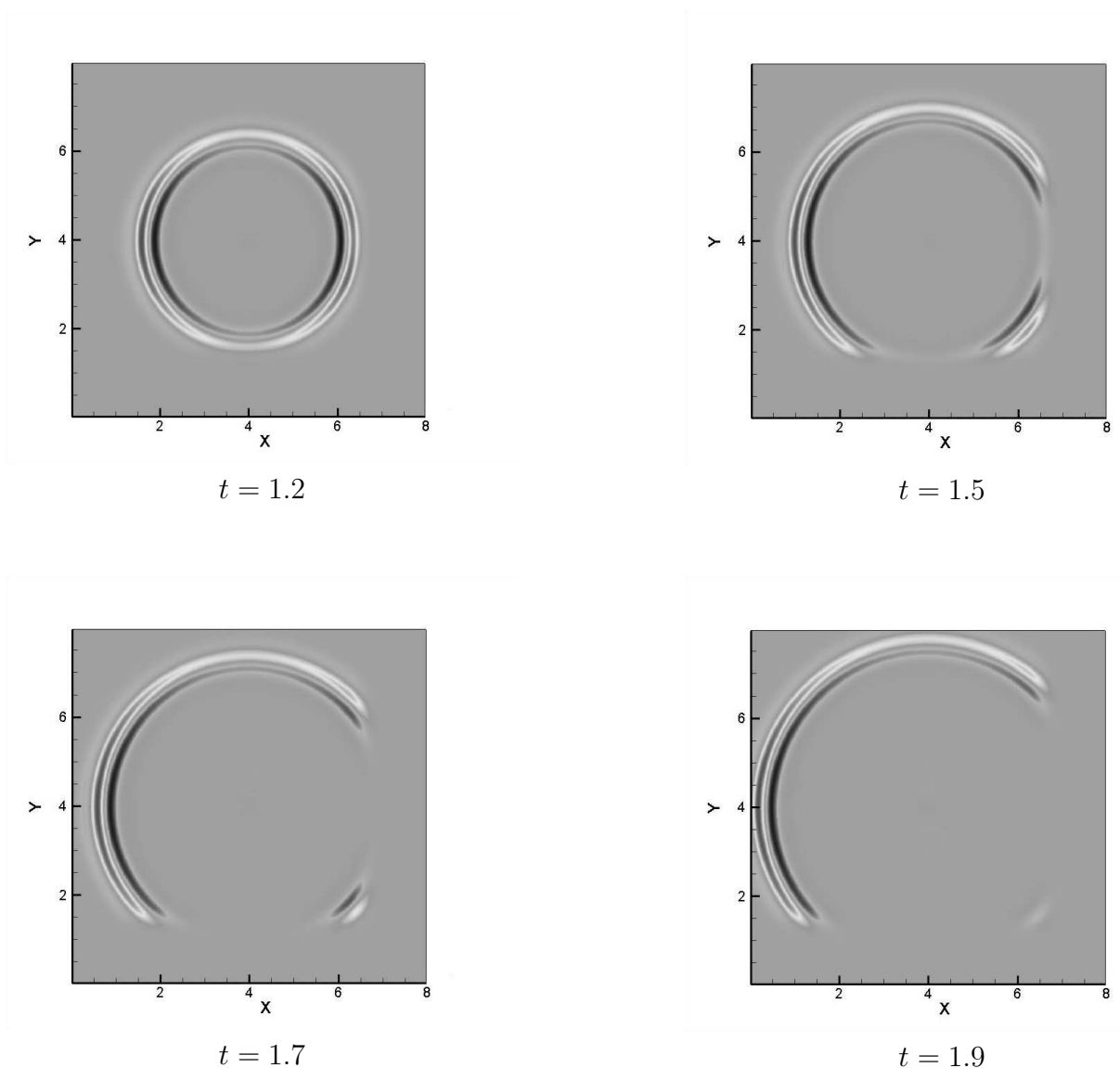


Рис. 3. Искажение импульса для двухслойной модели. Распределение скорости, сравнение численного решения по схеме Вирье с WENO-5/Рунге-Кутта-4 методом

## 6. ЗАКЛЮЧЕНИЕ

Метод WENO/Рунге-Кутта может эффективно применяться для расчета распространения упругих волн, в том числе в средах с переменными характеристиками упругости. При этом точность результатов, полученных методом WENO/Рунге-Кутта, превосходит классические конечно-разностные методы. Включение в расчет поглощающих PML слоев не представляет трудностей в применении метода. Заметим, что представленный алгоритм легко обобщается на трехмерный случай.

Авторы выражают признательность В.А. Титареву, В.А. Чеверде за плодотворные обсуждения данной работы.

РИС. 4. Снимки волнового поля  $\sigma_{11}$  для различных времен

## СПИСОК ЛИТЕРАТУРЫ

1. Годунов С.К., Забродин А.В., Иванов М.Я., Крайко А.Н., Прокопов Г.П. *Численное решение многомерных задач газовой динамики*. М.: Наука. 1976.
2. J. Virieux *P-SV wave propagation in heterogeneous media: Velocity-stress finite-difference method* // *Geophysics*. 1986. Vol. 103. №. 4. P. 889–901.
3. E.H. Saenger, N. Gold, S.A. Shapiro *Modeling the propagation of the elastic waves using a modified finite-difference grid* // *Wave Motion*. 2000. Vol. 31. №. 1. P. 77–92.
4. E.F. Toro *Riemann Solvers and Numerical Methods for Fluid Dynamics*. Springer. 2009.
5. G.S. Jiang, C.W. Shu *Efficient implementation of weighted ENO schemes* // *J. Comput. Phys*. 1996. Vol. 126. P. 202–212.
6. V.A. Titarev, E.F. Toro *Finite-volume WENO schemes for three-dimensional conservation laws* // *J. Comput. Phys*. 2004. Vol. 201. №. 1. P. 238–260.
7. J.P. Berenger *A perfectly matched layer for the absorption of electromagnetic waves* // *J. Comput. Phys*. 1994. Vol. 114. P. 185–200.
8. F. Collino, C. Tsogka *Application of the perfectly matched layer absorbing layer model to the linear elastodynamic problem in anisotropic heterogeneous media* // *Geophysics*. 2001. Vol. 66. P. 294–307.

9. C.W. Shu *Total variation diminishing Runge-Kutta schemes* // J. Mathematics of Computation. Vol. 67. P. 73–85.
10. D. Drikakis, W. Rider *High-resolution methods for incompressible and low-speed flows*. Springer-Verlag 2004.

Максим Николаевич Дмитриев,  
Новосибирский государственный университет,  
ул. Пирогова, 2,  
630090, г. Новосибирск, Россия  
E-mail: mnd@ngs.ru

Евгений Игоревич Роменский,  
Институт математики им. С.Л. Соболева СОРАН,  
ул. Коптюга, 4,  
630090, г. Новосибирск, Россия  
E-mail: evrom@math.nsc.ru